

analyze_2

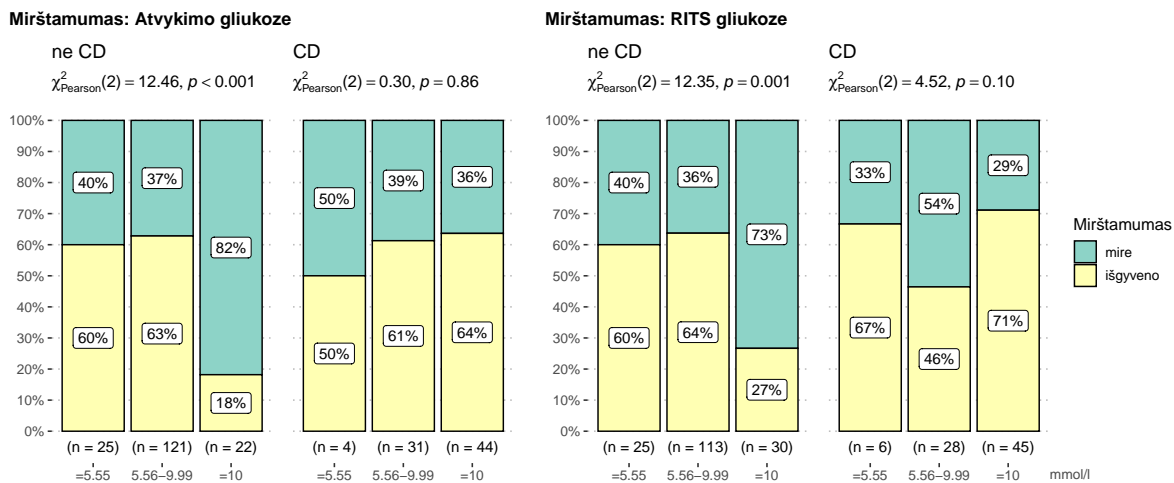
Table of contents

| | | |
|----------|--|----------|
| 1 | Duomenu analize | 1 |
| 1.1 | Glikemijos verčių ir mirštamumo vertinimas | 2 |
| 1.2 | Glikemijos verčių ir hospitalizacijos trukmės vertinimas | 2 |
| 1.3 | Glikemija ir prognozes skales | 3 |
| 1.4 | Hiperglikemija ir kvėpavimo funkcija | 5 |
| 1.5 | Hiperglikemija ir kvėpavimo funkcijos nepakankamumo gydymo būdai | 5 |
| 1.6 | Hiperglikemija ir kraujotakos palaikymo būdai | 8 |
| 1.7 | Hiperglikemija ir pakaitinė inkstų terapija | 10 |
| 1.8 | Logistinis modelis | 11 |
| 1.8.1 | SAPS | 11 |
| 1.9 | SAPS + glu_fac | 12 |
| 1.10 | SOFA | 13 |
| 1.10.1 | ISARIC4C | 13 |
| 1.11 | ISARIC4C + gliukoze 2 faktoriais | 14 |
| 1.12 | APACHEII | 15 |
| 1.13 | APACHEII + gliukoze 2 faktoriais | 16 |

1 Duomenu analize

Warning: NAs introduced by coercion

1.1 Glikemijos verčių ir mirštamumo vertinimas

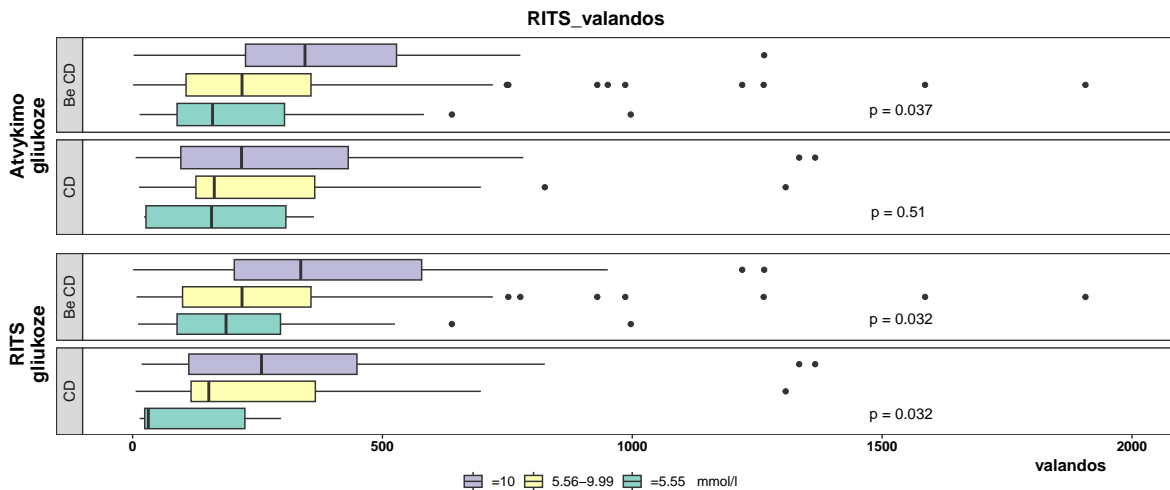


1.2 Glikemijos verčių ir hospitalizacijos trukmės vertinimas

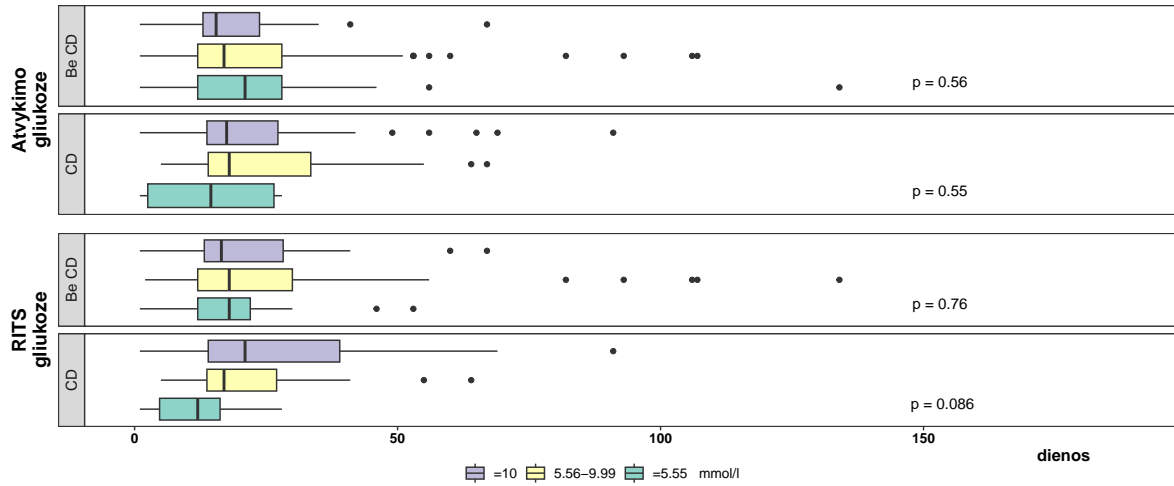
Grupinis

Bendras

RITS_valandos

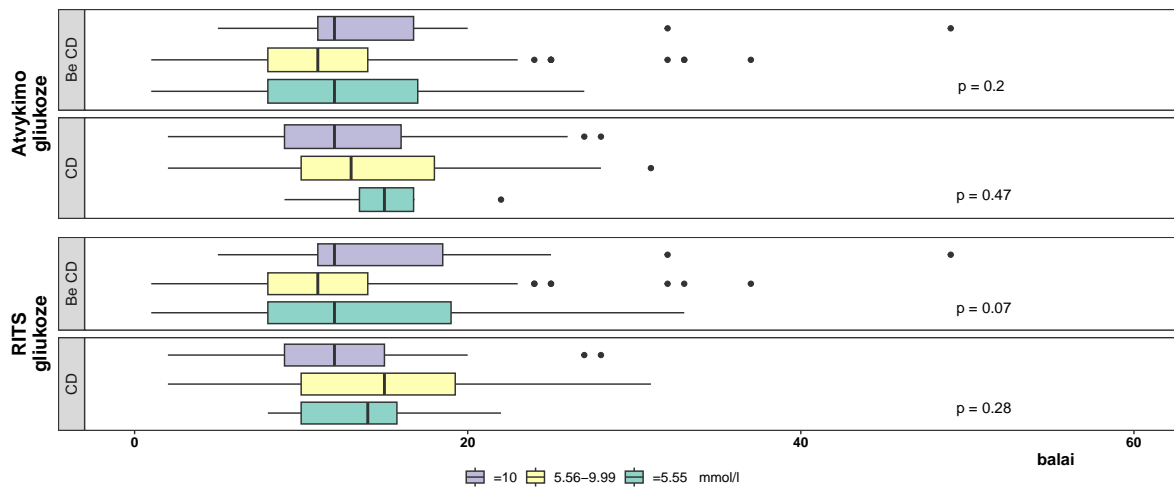


Lovadieniai

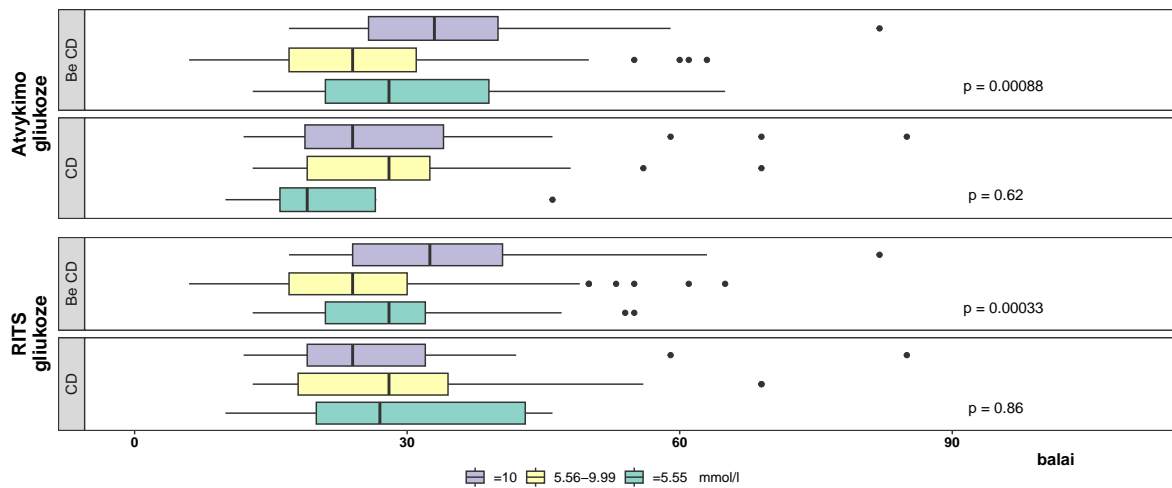


1.3 Glikemija ir prognozes skales

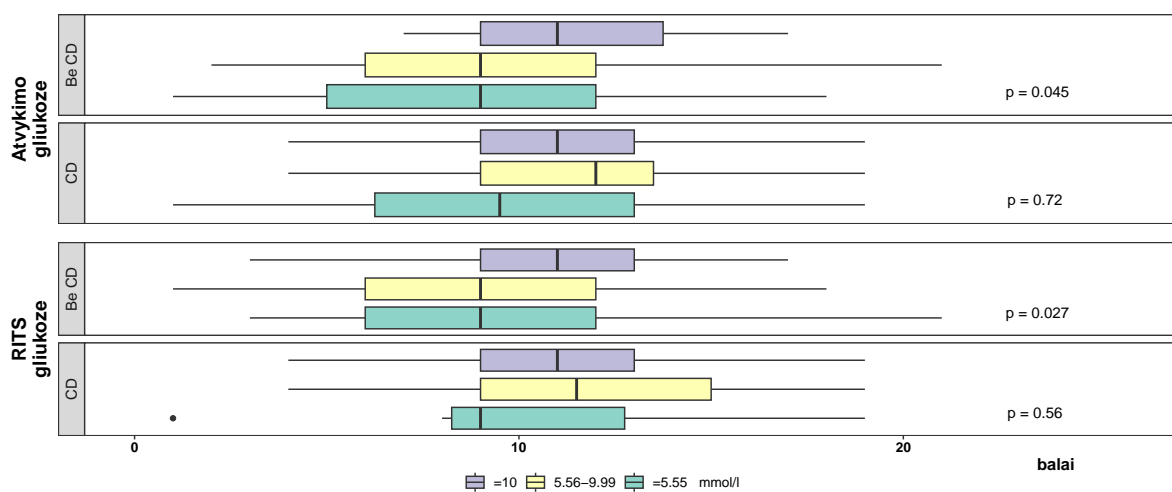
APACHEII



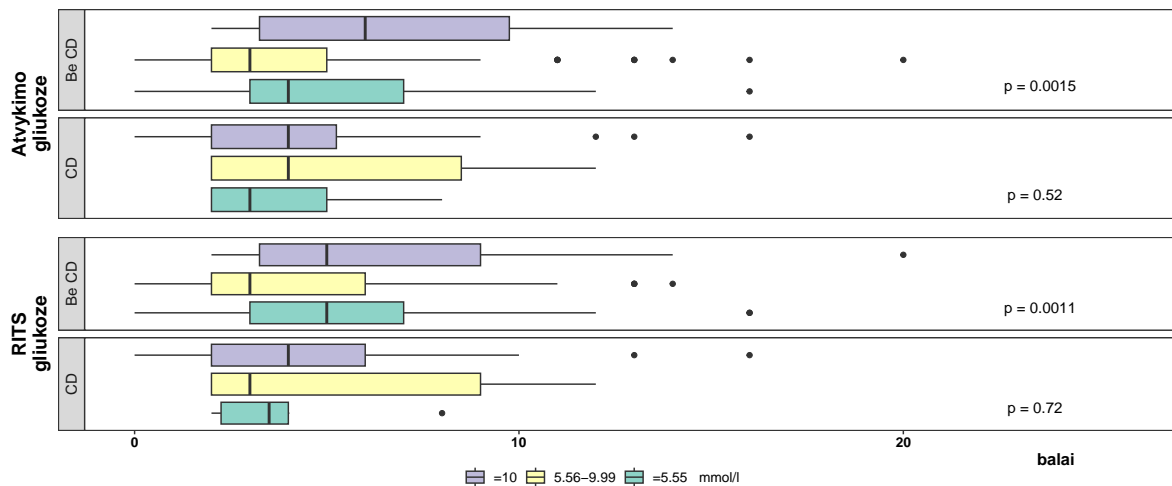
SAPS



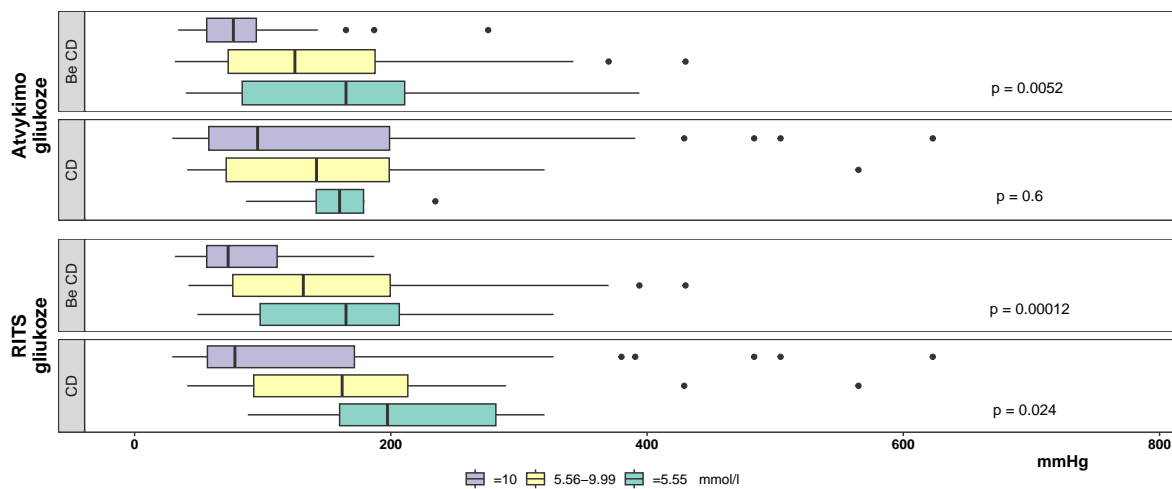
ISARIC 4C



SOFA



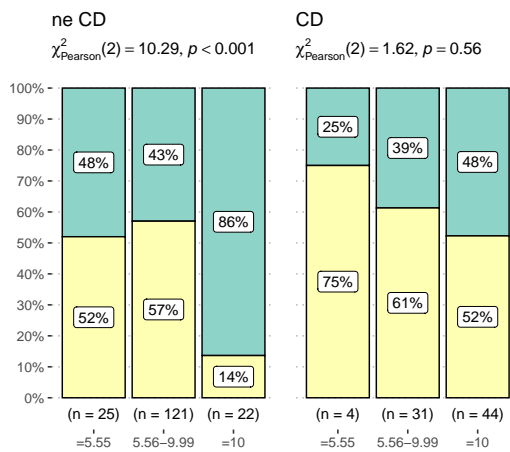
1.4 Hiperglikemija ir kvėpavimo funkcija



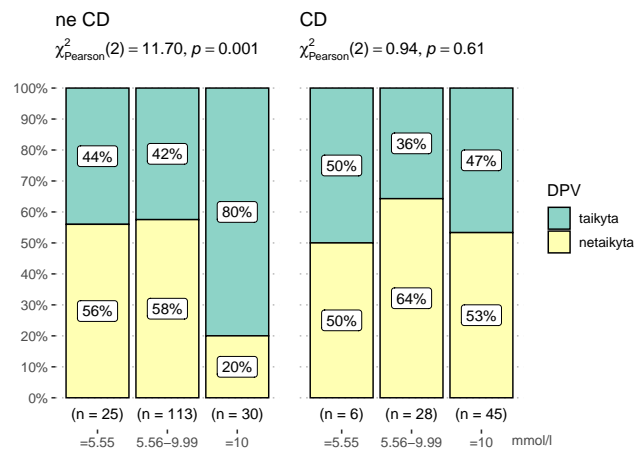
1.5 Hiperglikemija ir kvėpavimo funkcijos nepakankamumo gydymo būdai

DPV poreikis

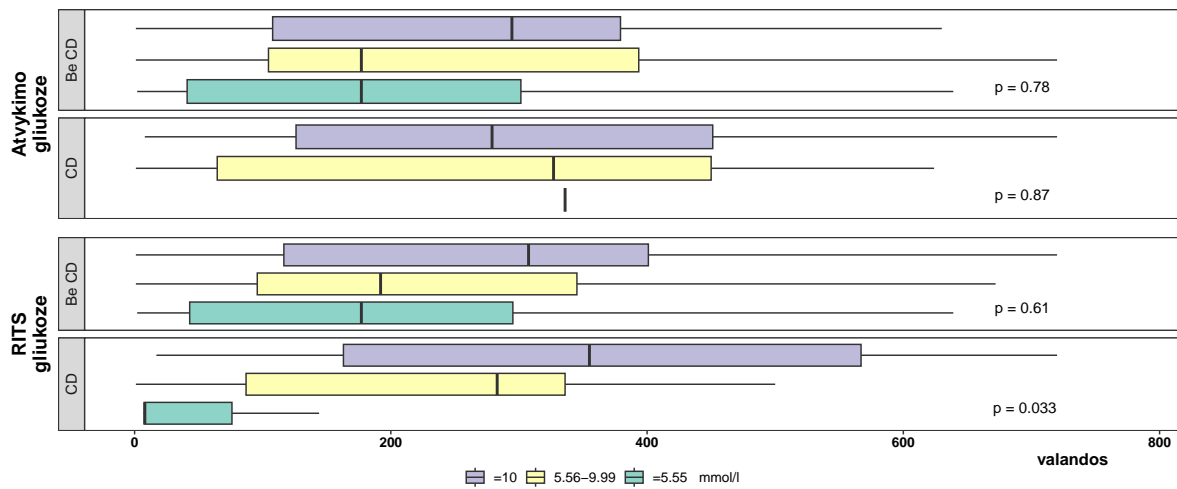
DPV poreikis: Atvykimo gliukoze



DPV poreikis: RITS gliukoze

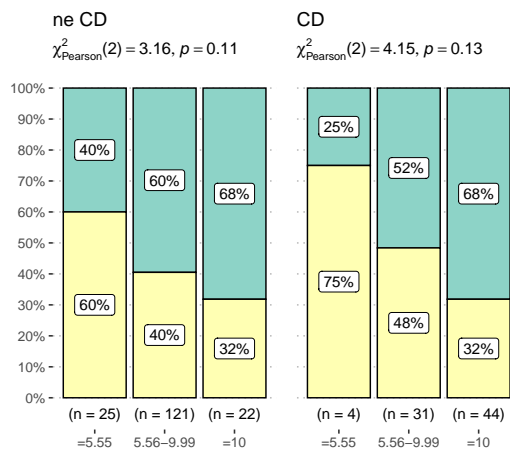


DPV valandos

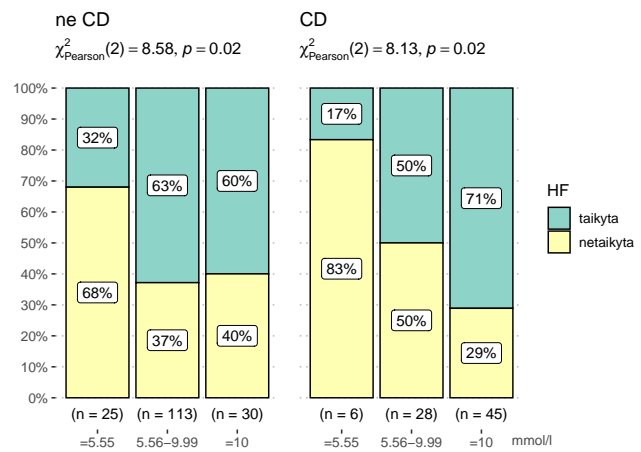


HF poreikis

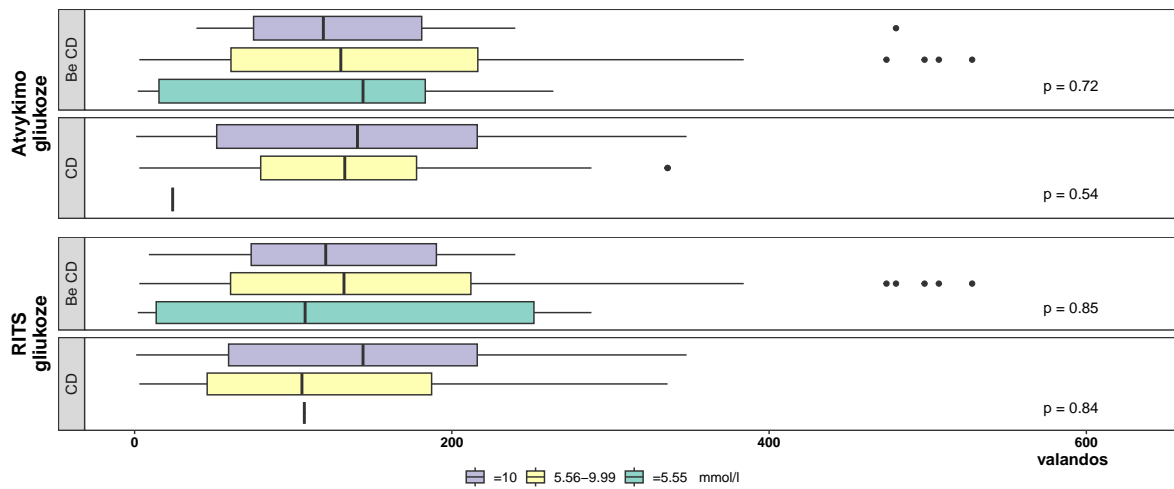
HF poreikis: Atvykimo gliukoze



HF poreikis: RITS gliukoze

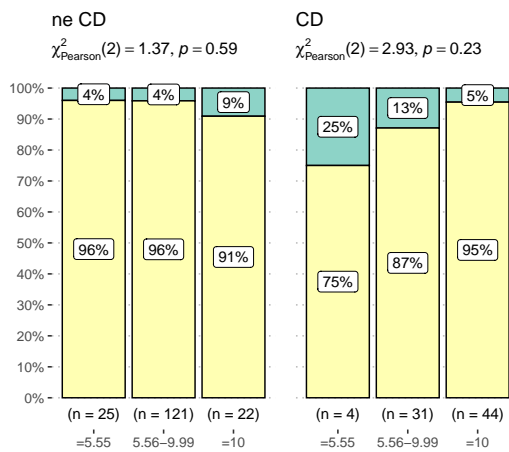


HF valandos

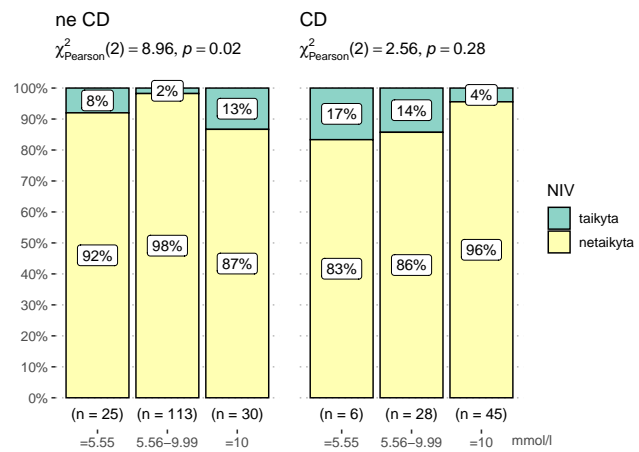


NIV poreikis

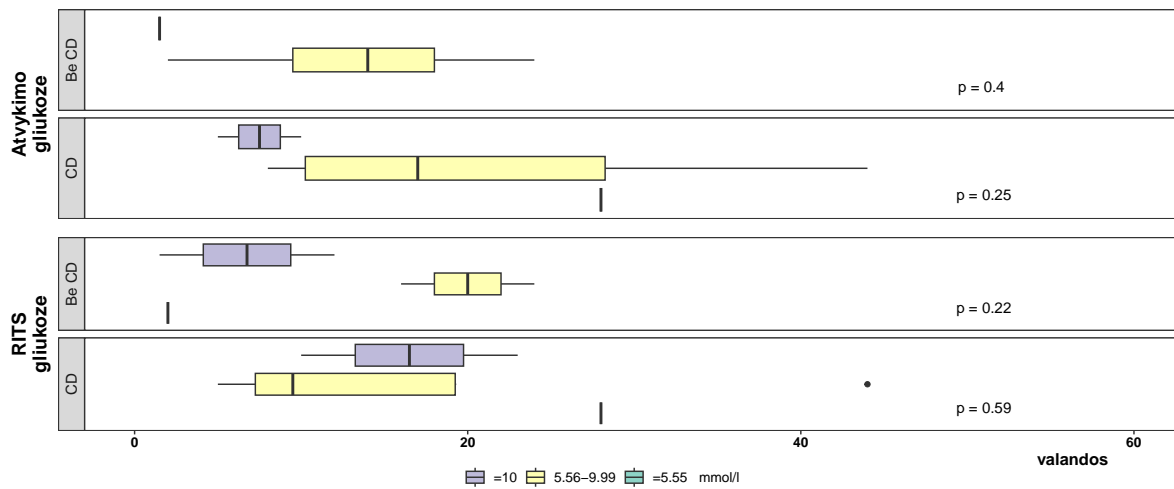
NIV poreikis: Atvykimo gliukoze



NIV poreikis: RITS gliukoze



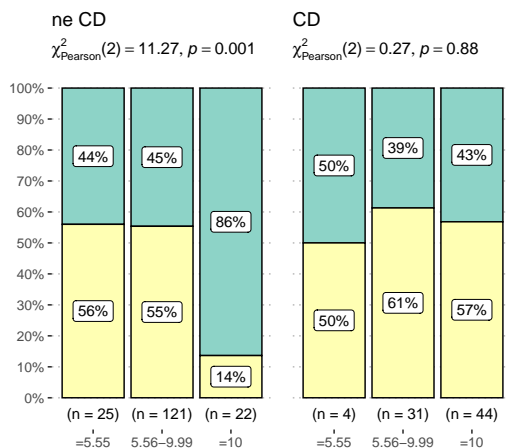
NIV valandos



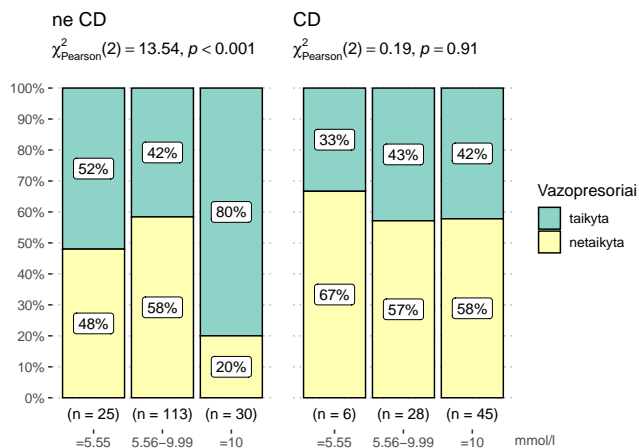
1.6 Hiperglikemija ir kraujotakos palaikymo būdai

Vazopresoriu poreikis

Vazopresoriu poreikis: Atvykimo gliukoze

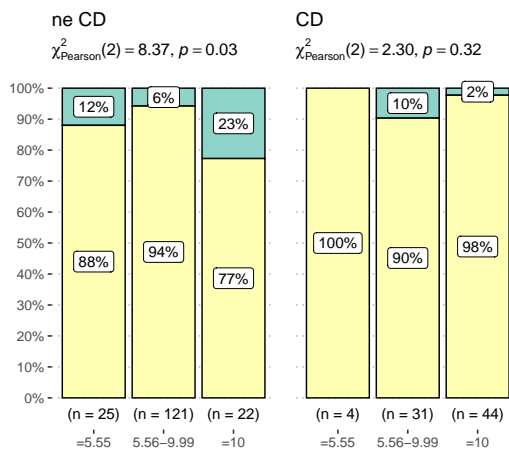


Vazopresoriu poreikis: RITS gliukoze

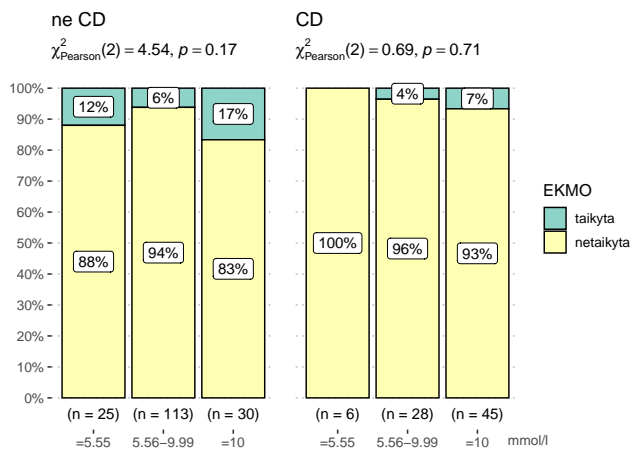


ECMO

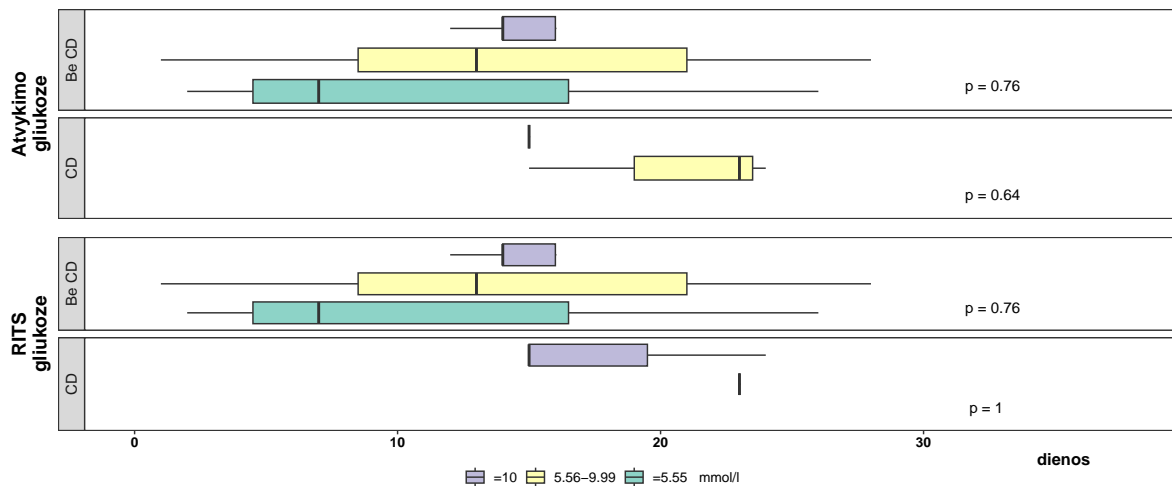
EKMO poreikis: Atvykimo gliukoze



EKMO poreikis: RITS gliukoze

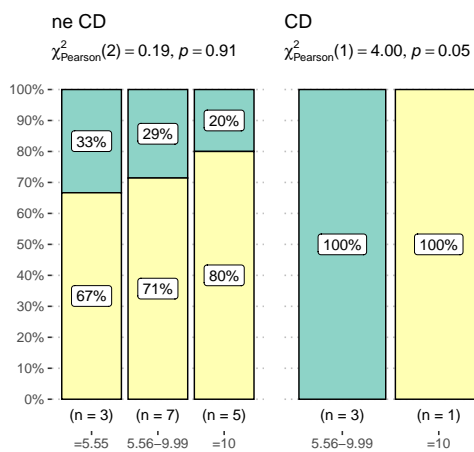


ECMO dienos

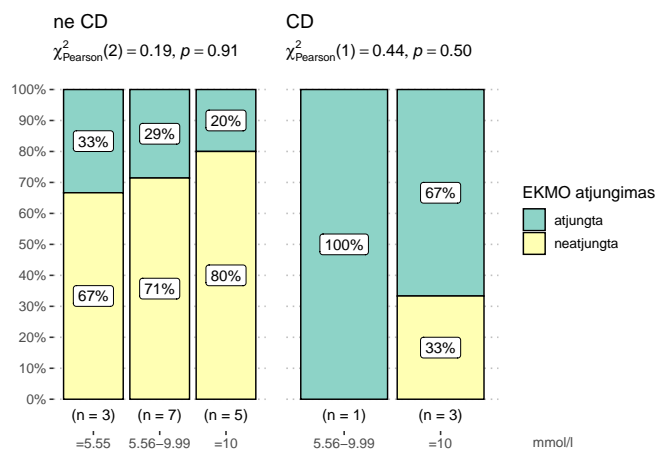


ECMO atjungta

EKMO atjungimas: Atvykimo gliukoze



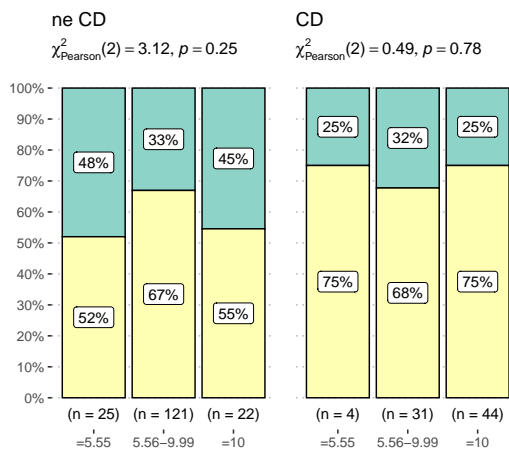
EKMO atjungimas: RITS gliukoze



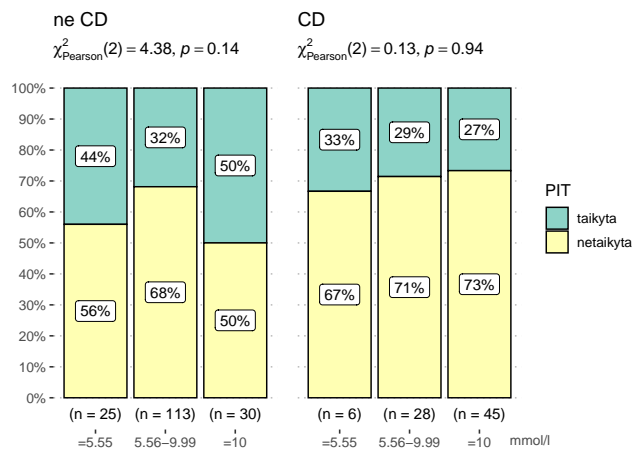
1.7 Hiperglikemija ir pakaitinė inkstų terapija

PIT

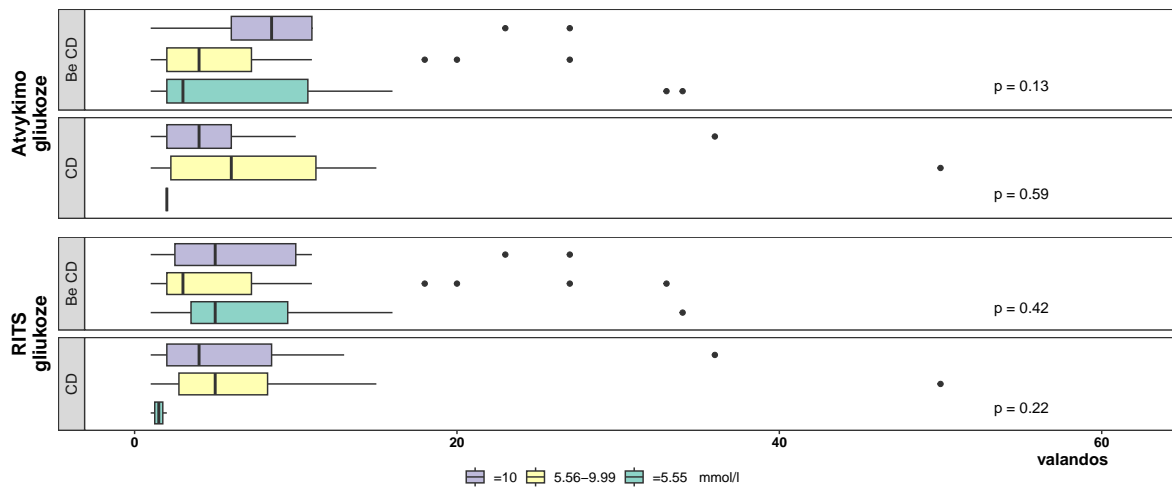
PIT: Atvykimo gliukoze



PIT: RITS gliukoze



PIT val



1.8 Logistinis modelis

1.8.1 SAPS

Confusion Matrix and Statistics

| | | |
|------------|-----------|----|
| | Reference | |
| Prediction | X0 | X1 |
| X0 | 84 | 44 |
| X1 | 7 | 29 |

Accuracy : 0.689
95% CI : (0.6122, 0.7589)
No Information Rate : 0.5549
P-Value [Acc > NIR] : 0.0003035

Kappa : 0.3372

McNemar's Test P-Value : 4.631e-07

Precision : 0.8056
Recall : 0.3973
F1 : 0.5321
Prevalence : 0.4451
Detection Rate : 0.1768
Detection Prevalence : 0.2195
Balanced Accuracy : 0.6602

'Positive' Class : X1

1.9 SAPS + glu_fac

Confusion Matrix and Statistics

Reference
Prediction X0 X1
X0 83 38
X1 8 35

Accuracy : 0.7195
95% CI : (0.6441, 0.7868)
No Information Rate : 0.5549
P-Value [Acc > NIR] : 1.063e-05

Kappa : 0.4081

McNemar's Test P-Value : 1.904e-05

Precision : 0.8140
Recall : 0.4795
F1 : 0.6034
Prevalence : 0.4451

Detection Rate : 0.2134
Detection Prevalence : 0.2622
Balanced Accuracy : 0.6958

'Positive' Class : X1

1.10 SOFA

Confusion Matrix and Statistics

| | Reference | |
|------------|-----------|----|
| Prediction | X0 | X1 |
| X0 | 85 | 53 |
| X1 | 6 | 20 |

Accuracy : 0.6402
95% CI : (0.5617, 0.7136)
No Information Rate : 0.5549
P-Value [Acc > NIR] : 0.01637

Kappa : 0.2222

McNemar's Test P-Value : 2.115e-09

Precision : 0.7692
Recall : 0.2740
F1 : 0.4040
Prevalence : 0.4451
Detection Rate : 0.1220
Detection Prevalence : 0.1585
Balanced Accuracy : 0.6040

'Positive' Class : X1

1.10.1 ISARIC4C

Confusion Matrix and Statistics

Reference

Prediction X0 X1
X0 78 33
X1 13 40

Accuracy : 0.7195
95% CI : (0.6441, 0.7868)
No Information Rate : 0.5549
P-Value [Acc > NIR] : 1.063e-05

Kappa : 0.4164

McNemar's Test P-Value : 0.005088

Precision : 0.7547
Recall : 0.5479
F1 : 0.6349
Prevalence : 0.4451
Detection Rate : 0.2439
Detection Prevalence : 0.3232
Balanced Accuracy : 0.7025

'Positive' Class : X1

1.11 ISARIC4C + gliukoze 2 faktoriais

Confusion Matrix and Statistics

Reference
Prediction X0 X1
X0 80 31
X1 11 42

Accuracy : 0.7439
95% CI : (0.67, 0.8088)
No Information Rate : 0.5549
P-Value [Acc > NIR] : 4.333e-07

Kappa : 0.4671

McNemar's Test P-Value : 0.00337

Precision : 0.7925
Recall : 0.5753
F1 : 0.6667
Prevalence : 0.4451
Detection Rate : 0.2561
Detection Prevalence : 0.3232
Balanced Accuracy : 0.7272

'Positive' Class : X1

1.12 APACHEII

Confusion Matrix and Statistics

Reference
Prediction X0 X1
X0 83 37
X1 8 36

Accuracy : 0.7256
95% CI : (0.6506, 0.7923)
No Information Rate : 0.5549
P-Value [Acc > NIR] : 4.994e-06

Kappa : 0.4218

Mcnemar's Test P-Value : 2.993e-05

Precision : 0.8182
Recall : 0.4932
F1 : 0.6154
Prevalence : 0.4451
Detection Rate : 0.2195
Detection Prevalence : 0.2683
Balanced Accuracy : 0.7026

'Positive' Class : X1

1.13 APACHEII + gliukozè 2 faktoriais

Confusion Matrix and Statistics

```
      Reference
Prediction X0 X1
      X0 82 30
      X1  9 43
```

```
      Accuracy : 0.7622
      95% CI : (0.6896, 0.8251)
No Information Rate : 0.5549
P-Value [Acc > NIR] : 2.846e-08
```

```
      Kappa : 0.5045
```

```
McNemar's Test P-Value : 0.001362
```

```
      Precision : 0.8269
      Recall : 0.5890
      F1 : 0.6880
      Prevalence : 0.4451
      Detection Rate : 0.2622
      Detection Prevalence : 0.3171
      Balanced Accuracy : 0.7451
```

```
'Positive' Class : X1
```

```
Call:
NULL
```

```
Coefficients:
```

```
      Estimate Std. Error z value Pr(>|z|)
(Intercept)  -3.3805      0.5718  -5.912 3.38e-09 ***
APACHEII       0.2266      0.0420   5.395 6.85e-08 ***
`glu_fac 10`   2.2945      0.6858   3.346 0.000821 ***
---
```

```
Signif. codes:  0 '***' 0.001 '**' 0.01 '*' 0.05 '.' 0.1 ' ' 1
```

```
(Dispersion parameter for binomial family taken to be 1)
```


Null deviance: 225.37 on 163 degrees of freedom
Residual deviance: 159.74 on 161 degrees of freedom
AIC: 165.74

Number of Fisher Scoring iterations: 5